
Котляр В.В., Панков И.А., Соффер В.А.

МЕТОД РАСЧЕТА ФУНКЦИИ РЕЛЬЕФА ОТРАЖАТЕЛЬНОЙ ДИФРАКЦИОННОЙ РЕШЕТКИ В ПРИБЛИЖЕНИИ РЭЛЕЯ.

Введение

Отражательные дифракционные решетки (ДР) используются во многих прикладных задачах оптики. В лазерной технике ДР используют-

ся для измерения мощности лазерных пучков как неискажающие структуру пучка ответвители излучения [1]. Их также используют как дифракционные поляризаторы для поворота вектора поляризации лазерных [2] или СВЧ [3] пучков. В

задачах оптической обработки информации ДР используются в качестве многоканальных осветителей, которые мультилипликативно лазерный пучок на N пучков равной интенсивности [4]. К проблеме расчета светового поля, отраженного от дифракционной решетки (прямая задача дифракции) имеется несколько подходов разной степени сложности и точности: методы строгого решения электромагнитных уравнений Максвелла с соответствующими граничными условиями [5]; метод решения уравнений связанных волн [6]; метод Рэлея [7] и метод скалярной дифракции Кирхгофа [8].

В данной работе в рамках плосковолнового представления дифрагировавших волн (метод Рэлея) рассматривается обратная задача дифракции, в которой требуется найти функцию рельефа ДР по заданному распределению интенсивности света между дифракционными порядками. Приближение Рэлея дает наиболее точные результаты при условии, что максимальная высота h и период d рельефа решетки связаны с длиной волны λ следующими неравенствами [9]: $d \leq 15\lambda, h \leq 1.5\lambda$.

1. Метод Рэлея.

В этом разделе, следуя [10], кратко рассмотрено получение амплитуды дифрагированного на решетке света в приближении Рэлея. На рис.1 показана оптическая схема описываемой ситуации. Плоская волна света с комплексной амплитудой $\psi_i(x,y)$ падает под углом Θ_0 на идеально отражающую ДР, профиль которой изменяется с периодом d вдоль оси x и не изменен вдоль оси z (этот ось направлена перпендикулярно рис.1):

$$\psi_i(x,y) = \exp\{ik(x\sin\Theta_0 - y\cos\Theta_0)\}, \quad (1)$$

где $\lambda = 2\pi/\lambda$ -волновое число света.

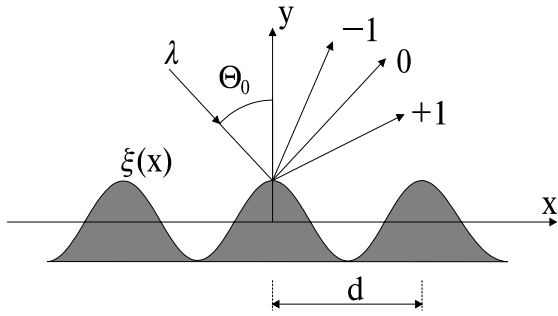


Рис.1. Схема отражения плоской волны от поверхности решетки

Ограничимся рассмотрением случая ТЕ-поляризации, для которого электрический вектор плоской волны направлен вдоль оси z , а магнитный лежит в плоскости падения (x, y).

Полное световое поле $\psi(x,y)$ в полупространстве над решеткой (при $y > \max[\xi(x)]$, $\xi(x)$ -функция профиля решетки) удовлетворяет уравнению Гельмгольца:

$$\Delta\psi(x,y) + k^2\psi(x,y) = 0 \quad (2)$$

с граничными условиями для идеально отражающей поверхности

$$\psi(x,y)|_{y=\xi(x)} = 0. \quad (3)$$

Из (3) следует, что дифрагирующее на решетке световое поле удовлетворяет условию

$$\psi(x,y) = \psi_d(x,y) + \psi_i(x,y), \quad (4)$$

$$\begin{aligned} \psi_d(x,y)|_{y=\xi(x)} &= \\ &= -\exp\{ik(x\sin\Theta_0 - \xi(x)\cos\Theta_0)\}. \end{aligned} \quad (5)$$

Так как функция решетки периодическая: $\xi(x+d) = \xi(x)$, а функция, стоящая справа в уравнении (5) является квазипериодической, то следующая функция должна быть также периодической по x :

$$V(x,y) = \psi_d(x,y) \exp\{-ikx\sin\Theta_0\}. \quad (6)$$

Функцию (6) можно разложить в ряд Фурье:

$$V(x,y) = \sum_{n=-\infty}^{\infty} V_n(y) \exp\left\{2\pi i \frac{nx}{d}\right\}. \quad (7)$$

Из уравнений (6) и (7) следует плосковолновое представление для амплитуды дифрагированного поля:

$$\psi_d(x,y) = \sum_{n=-\infty}^{\infty} V_n(y) \exp\{ik\alpha_n x\} \quad (8)$$

$$\text{где } \alpha_n = \sin\Theta_0 + n\frac{\lambda}{d}.$$

Подставив уравнение (8) в уравнение Гельмгольца, получим выражение:

$$\sum_{n=-\infty}^{\infty} \left[\frac{d^2 V_n(y)}{dy^2} + k^2 \beta_n^2 V_n(y) \right] \exp\left\{2\pi i \frac{nx}{d}\right\} = 0, \quad (9)$$

из которого следуют уравнения для функций $V_n(y)$:

$$\frac{d^2 V_n(y)}{dy^2} + k^2 \beta_n^2 V_n(y) = 0, \quad (10)$$

$$\text{где } \beta_n^2 = 1 - \alpha_n^2.$$

Решение уравнения (10) имеет вид:

$$V_n(y) = B_n \exp\{ik\beta_n y\}. \quad (11)$$

Уравнение (8) с учетом (11) приводит к следующему виду разложения дифрагированного поля по плоским волнам при $y > \max[\xi(x)]$:

$$\psi_d(x,y) = \sum_{n=-\infty}^{\infty} B_n \psi_n(x,y), \quad (12)$$

$$\psi_n(x,y) = \exp\{ik(\alpha_n x + \beta_n y)\}. \quad (13)$$

Заметим, что сумма (12) содержит как однородные плоские волны (при $\alpha_n^2 < 1$), так и неоднородные волны, экспоненциально затухающие вдоль оси y при условии $\alpha_n^2 > 1$.

Гипотеза Рэлея состоит в том, что разложение поля (12) верно не только при $y > \max[\xi(x)]$,

но и при $y \geq \xi(x)$. При этом из уравнений (5) и (12) получим выражение для поиска коэффициентов B_n :

$$\sum_{n=-\infty}^{\infty} B_n \psi_n(x, \xi(x)) = -\psi_i(x, \xi(x)). \quad (14)$$

При ограничении числа дифрагировавших порядков $-N < n < N$ и при выборе последовательности точек x_m уравнение (14) приводит к линейной системе алгебраических уравнений относительно неизвестных B_n :

$$\sum_{n=-N}^N B_n \psi_{nm} = -\psi_{im}, \quad (15)$$

где $\psi_{nm} = \psi_n(x_m, \xi(x_m))$, $\psi_{im} = \psi_i(x_m, \xi(x_m))$.

2. Алгоритм расчета рельефа решетки.

В этом разделе рассматривается обратная задача и приводится итеративный алгоритм расчета функции $\xi(x)$ по заданным модулям коэффициентов B_n . Квадраты модулей коэффициентов $|B_n| = I_{n0}$ представляют собой интенсивности дифрагировавших порядков, которые требуется сформировать. Эту задачу предлагается решать следующим образом. Из уравнения (14) видно, что функция $\psi_d(x, y)$ должна быть только фазовой при $y = \xi(x)$: $|\psi_d(x, \xi(x))| = |\psi_i(x, \xi(x))| = 1$. Пользуясь неопределенностью аргументов комплексных коэффициентов B_n суммы (12), можно итеративным способом рассчитать дифрагировавшее поле, которое бы имело единичный модуль в прямоугольной области: $-d/2 \leq x \leq d/2$, $-\lambda/2 \leq y \leq \lambda/2$. Алгоритм расчета сходен с известным алгоритмом Герчберга-Секстона [11] и имеет следующие шаги.

1. Пусть на p -ом шаге итераций оценка функции дифрагировавшего поля имеет вид

$$\psi_d^{(p)}(x, y) = \exp\{iQ_p(x, y)\}. \quad (16)$$

2. Функция (16) разлагается в ряд по ортогональным функциям (13), коэффициенты которого находятся по формулам:

$$B_n^{(p)} = \frac{1}{\lambda d} \int_0^d \int_{-\frac{\lambda}{2}}^{\frac{\lambda}{2}} \exp\{iQ_p(x, y) - ik(\alpha_n x + \beta_n y)\} dx dy \quad (17)$$

3. Рассчитанные коэффициенты B_n видоизменяются с учетом заданных значений интенсивности порядков:

$$\bar{B}_n^{(p)} = \sqrt{I_{n0}} \exp\{i \arg(B_n^{(p)})\}. \quad (18)$$

4. Следующая оценка фазы функции дифрагировавшего поля находится по формуле

$$Q_{p+1}(x, y) = \arg \left\{ \sum_{n=-\infty}^{\infty} \bar{B}_n^{(p)} \exp[ik(\alpha_n x + \beta_n y)] \right\} \quad (19)$$

5. Далее следует переход к первому пункту и т. д.

Можно показать, что этот алгоритм будет сходиться в среднем, то есть для любого номера p выполняется неравенство

$$\begin{aligned} & \int_0^d \int_{-\frac{\lambda}{2}}^{\frac{\lambda}{2}} \left[(\psi_d^{(p+1)}(x, y) - 1)^2 \right] dx dy \leq \\ & \leq \int_0^d \int_{-\frac{\lambda}{2}}^{\frac{\lambda}{2}} \left[(\psi_d^{(p)}(x, y) - 1)^2 \right] dx dy \end{aligned} \quad (20)$$

Пусть при достаточном числе шагов среднее квадратичное отклонение δ достигло заданного значения δ_0 :

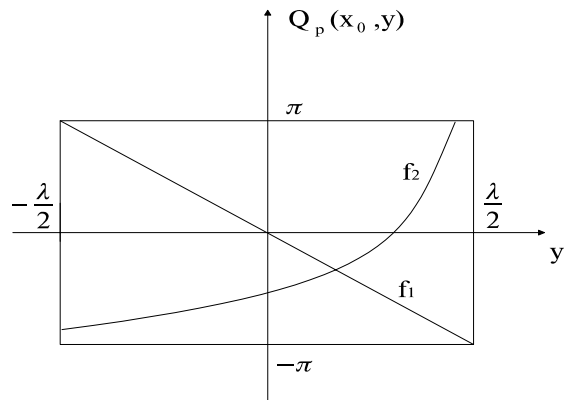


Рис. 2. Графическое решение уравнения(22)

$$\delta_p = \frac{1}{\lambda d} \sqrt{\int_0^d \int_{-\frac{\lambda}{2}}^{\frac{\lambda}{2}} \left[(\psi_d^{(p)}(x, y) - 1)^2 \right] dx dy} \leq \delta_0, \quad (21)$$

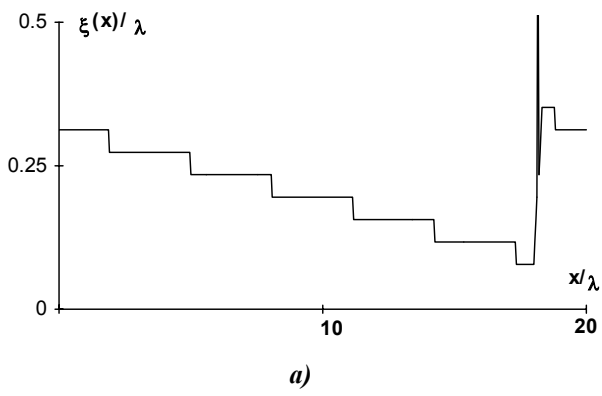
тогда, исходя из уравнения (14) можно записать уравнение для поиска функции рельефа $\xi(x)$:

$$Q_p(x, \xi(x)) = \pi + k\alpha_0 x - k\beta_0 \xi(x) \quad (22)$$

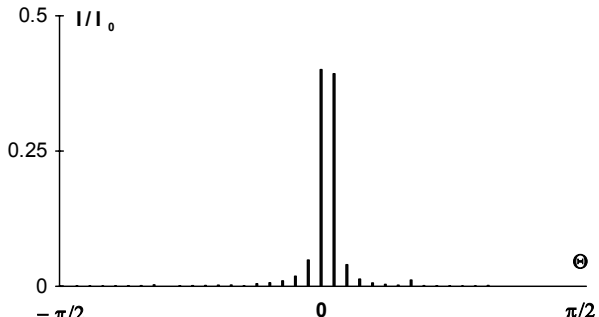
где $Q_p(x, \xi(x))$ - рассчитанная на p -ой итерации фаза дифрагировавшего поля $\psi_d(x, y)$. На рис.2 показано, что решение уравнения (22) при $\Theta_0 = 0$ ($\alpha_0 = 0$, $\beta_0 = 1$) и для любой точки x_0 находится из пересечения прямой $f_1(y) = -2\pi/\lambda$ и кривой $f_2(y) = Q_p(x_0, y) - \pi$.

3. Численные результаты.

На рис.3-6 приведены рассчитанные описанным выше методом рельефы одного периода дифракционных решеток $h = \xi(x)$ рассеивающих падающую плоскую волну в заданных направлениях a и угловое распределение нормированной интенсивности рассеянного на этих решетках поля полученное в результате расчета с помощью интеграла Кирхгофа б). Расчеты были проведены для нормально падающей плоской волны (длина волны λ) период рассчитываемой решетки $T = 20\lambda$. При расчете задавались несколько порядков одинаковой интенсивности: 0, 1 (рис.3б); -1, 1 (рис.4б); 0, 1 (рис.5б) и 0, 1, 2 (рис.6б).

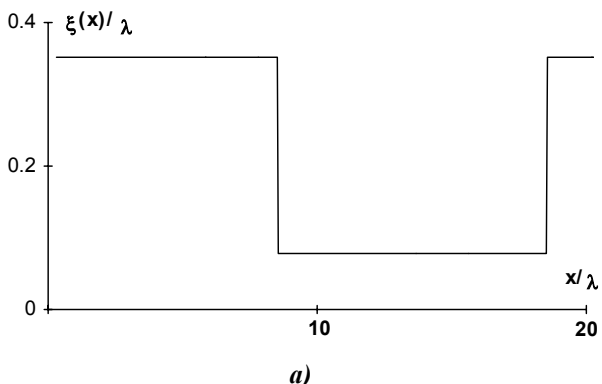


a)

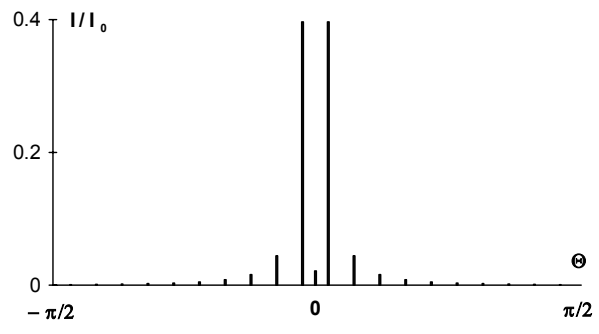


б)

Рис.3. Функция периода двухпорядковой (несимметричной) решетки *а*) и угловое распределение нормированной интенсивности рассеянного света *б*).

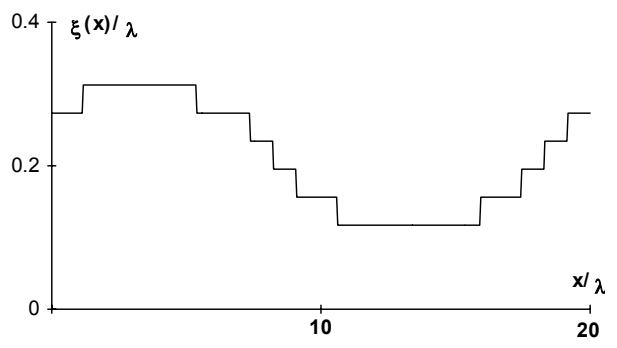


а)

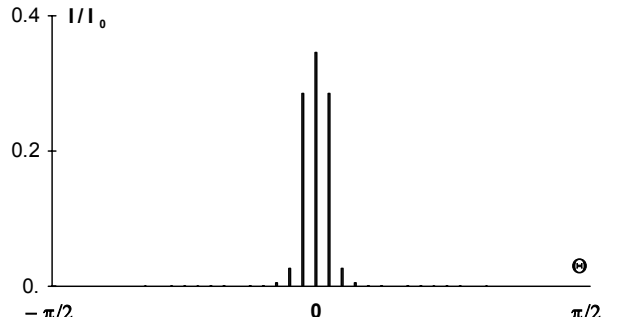


б)

Рис.4. Функция периода двухпорядковой (симметричной) решетки *а*) и угловое распределение нормированной интенсивности рассеянного света *б*).

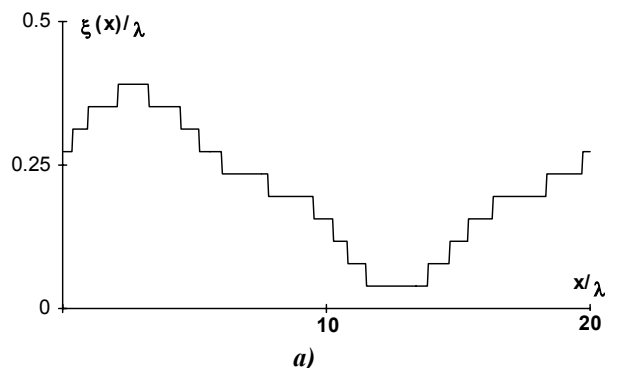


а)

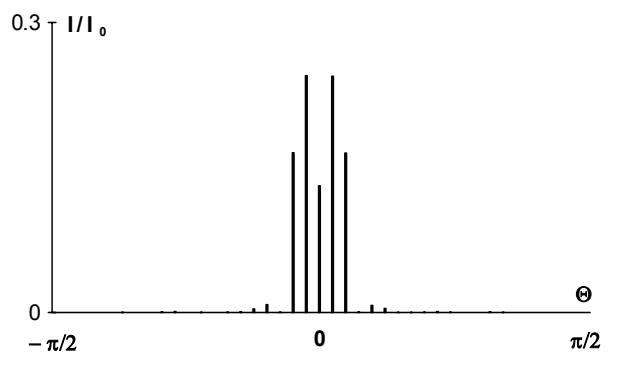


б)

Рис.5. Функция периода трехпорядковой (симметричной) решетки *а*) и угловое распределение нормированной интенсивности рассеянного света *б*).



а)



б)

Рис.6. Функция периода пятипорядковой (симметричной) решетки *а*) и угловое распределение нормированной интенсивности рассеянного света *б*).

Из рисунков видно что предложенный метод позволяет рассчитывать решетки, создающие заданное количество распространяющихся в заданных направлениях дифракционных порядков, но распределение энергии между ними не всегда точно соответствует заданному.

Литература.

- 1 Апполонов В.В., Бочкарев Е.Л., Заславский В.Я. и др. Ответвитель лазерного пучка на дифракционной решетке. //pp Квантовая электроника, 1979, т. 6, N 3, с. 615-618
- 2 Haidner H., Kipher P., Sheridan J.T. et al. Polarizing reflection grating beamsplitter for 10.6 μm wavelength. // Opt. Eng., 1993, v. 32, N 8, p. 1860-1865
- 3 Sweeney D.W., Gallagher N.C. Multi-element microwave computer generated holograms. // Proc. SPIE, 1988, v. 884, p. 114-119
- 4 Vassara A., Taghizadeh M.R., Turunen J. et al. Binary surface-relief gratings for array illumination in digital optics. // Appl. Opt., 1992, v. 31, N 7, p. 3320-3336
- 5 Electromagnetic theory of gratings: Topics in current physics, v. 22, Ed. by R. Petit, N.Y.: Springer-Verlag, 1980
- 6 Moharam M.G., Gaylord T.K. Rigorous coupled-wave analysis of metallic surface-relief gratings. // J. Opt. Soc. Am. A, 1986, v. 3, N 11, p. 1780-1787
- 7 Hugonin J.P., Petit R., Cadilhac M. Plane wave expansions used to describe the field diffracted by a grating. // J. Opt. Soc. Am. A, 1981, v. 71, N 5, p. 593-597
- 8 Бреховских Л.М. Дифракция волн на шероховатой поверхности. // ЖЭТФ, 1952, т. 23, N 3, с. 275-304
- 9 Vanden Berg P.M., Fokkema J.T. The Rayleigh hypothesis in the theory of reflection by a grating. // J. Opt. Soc. Am., 1979, v. 69, N 1, p. 27-31
- 10 Смокий О.И., Фабриков В.А. Методы теории систем и преобразований в оптике, Ленинград, Наука, 1989
- 11 Gerchberg R.W., Saxton W.O. A practical algorithm for the determination of the phase from image and diffraction plane pictures. // Optik, 1972, v. 35, N 2, p. 237-246.